

線の方法について

早大 理工 中島勝也

§1. H. A. Schwarz の交互法

偏微分方程式の境界値問題を数值的に解く場合に、方程式そのものよりも境界条件の取り扱い方が難しいことが多い。また Poisson 方程式のように特殊な領域、たとえば 2 次元平面では円とか長方形の内部に対しては解の公式が与えられることがある。そこで、このような領域の融合領域に対して解の存在が証明されたり、もっと具体的に計算方法が示されたならば、理論的にも実際的にも大いに有用である。調和函数の Dirichlet 問題に対して Schwarz [1870] はこの種の問題に一つの解決法を示した。つきにその根據となる定理を述べる。

定理 1. 互通集をもつ 2 つの Jordan 領域 D_1 および D_2 のあわの
に付して調和函数の Dirichlet 問題が解けるものと仮定すれば、その和
領域に対してもまた同じ Dirichlet 問題が解ける。

この定理においては、領域 D_1 および D_2 が單一連結である必要はない。
この証明については、たとえば小松勇作 [1944] を見られたい。つき
に Kantorovič & Krylov [1952] によるこの方法の拡張について概略を
述べよう。

xy 平面上の有長單一閉曲線 L で囲まれた領域 D 上、一般形の偏微
分方程式

$$F(x, y, u, u_x, u_y, u_{xx}, u_{xy}, u_{yy}) = 0 \quad \dots \quad (1.1)$$

を考える。

D で (1.1) を満足し, L 上で与えられた区分的に連続な函数 $f(p)$ と, f の連続まで一致する D 内で有界な函数 $n(x, y)$ を求め, という (1.1) の Dirichlet 問題を考える。

領域 D をいくつかの領域 D_i ($i=1, 2, \dots, k$) の合併集合と考え, D_i の境界を L_i とする。これらの領域 D_i に対しては, (1.1) の Dirichlet 問題が解けるものとする。Schwarz の交互法を適用するために, D_i , $D_i \cap D_j$, $D_i \cup D_j$ など D の部分領域における (1.1) の解について或条件を課すのであるが, 一般にxy 平面上の任意の領域としてその条件を述べることにする。

Schwarz の交互法が適用されるために (1.1) の解に次の仮定を設ける。

I. (解の一意性) D を xy 平面上の任意の領域とする。 D 内で (1.1) を満足する 2 つの有界な解 u と u^* とが, D の境界 L 上ほとんど到る所(有限個の除外点のほかでは) 同じ境界値をもつとき D 内のすべての点で一致する。

$$\text{すなはち}, \quad u(Q) = u^*(Q) \quad Q \in L$$

$$\text{ならば}, \quad u(P) = u^*(P) \quad P \in D \quad \text{となる}.$$

II. (解の大小関係) D 内で (1.1) を満足する 2 つの有界な解 $u(P)$ と $u^*(P)$ とが L 上ほとんどすべての点で $u^*(Q) \geq u(Q)$ を満たすとき, D 内でつねに $u^*(P) \geq u(P)$

III. D 内で単調で (1.1) を満足する一様有界な函数列 $\{u_n(p)\}_{n=1, 2, \dots}$ の極限もまた (1.1) を満足する。

IV. (最大値、最小値原理) $u(P)$ が D 上で有界で (1.1) をみたす

函数とする。 $u(P)$ が D の境界 L 上ほとんどすべての点で境界値をもつとき、 $u(P)$ は D 内で正の最大値かまたは負の最小値をとらす。

V. (境界における連続性) D の境界 L の部分弧を α とする。 R と α の端でない点とし、 α 上で連続な函数 $f(Q)$ が与えられているものとする。そのとき (1.1) の有界な解 $u(P)$ が弧 α 上の R 以外の点 Q で境界値 $f(Q)$ をとるとき、 P が D 内から点 R に近づくときの $u(P)$ の極限値は $f(R)$ に等しい。

以上 5 の仮定は Laplace 方程式の解である調和函数によって満足される。一般に橢円型方程式

$$au_{xx} + 2bu_{xy} + cu_{yy} + du_x + eu_y + fu = g, \quad b^2 - ac < 0 \dots (1.2)$$

についても同様の結果が成り立つ。ここで (1.2) の係数および右辺の函数は十分高い階数まで連続微分可能であるとする。それらの結果を証明なしに掲げよう。

定理 2. D 内でつねに $f \leq 0$ ならば (1.2) の Dirichlet 問題は任意の連続な境界条件に対して一意的な解をもつ。つぎに同次形の場合を考える。 (1.2)において $g = 0$ の場合である。

定理 3. 同次方程式の場合条件 II は条件 IV から導かれる。

定理 4. 同次橢円型方程式 (1.2), ($g=0$) の $D = D + L$ で連続な解の列が境界上で一様に収束するならば、実は D 全体で一様に収束する。しかも極限函数はもとの方程式を満足する。

定理 5. 同次橢円型方程式 (1.2), ($g=0$) の解の列 $\{u_n(p)\}_{n=1,2,\dots}$ が、 D 内の多くの点でも一員で下に有界で、さらに D 内で単調減少列であるとすれば、 $u_n(p)$ は D で広義の一様に収束する。

定理 6. (1.2) において $f \equiv 0, g \equiv 0$ のときは、この方程式のすべての解は、 D の境界 L 上でその上限と下限をとる。

$f \equiv 0, g \equiv 0$ のときは、閉領域 D で連続な $(1.2), g \equiv 0$ のすべての解は D の内部で正の最大値も負の最小値もとることができない。

これらの定理および、その拡張についてはイ. ケ. ペトロフスキイ [1958] を参照されたい。

領域 γ は境界 L_1 と L_2 との交差、上くに α と β との端点における解の連續性を尊くためて設けられたものである。

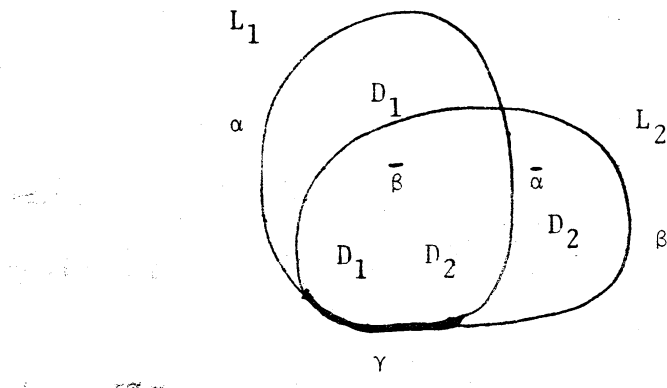


Fig. 1.

さて Fig. 1 のように相重なる 2 領域 D_1 と D_2 とがあるて、それらの境界をそれぞれ L_1, L_2 とする。大がいに他の領域に含まれる境界弧をそれぞれ $\bar{\alpha}, \bar{\beta}$ とし、 $L_1 = \bar{\alpha} + \alpha, L_2 = \beta + \bar{\beta}$ また $L = \alpha + \beta, \gamma = L_1 \cap L_2$ としよう。

L 上で与えられた区分的に連続な函数 $f(P)$ に対する (1.1) (または (1.2)) に対する $D = D_1 \cup D_2$ 内での Dirichlet 問題の解を求めよう。すなはち $\bar{\alpha}$ 上で区分的に連続な函数 $\phi(P)$ を与えてそれを $v_0(P)$ とし、次々に境界条件

$$u_n(P) = \begin{cases} f(P) & \dots \quad P \in \alpha \\ v_{n-1}(P) & \dots \quad P \in \bar{\alpha} \end{cases} \dots \quad (1.3)$$

$$v_n(P) = \begin{cases} f(P) & \dots \quad P \in \beta \\ u_n(P) & \dots \quad P \in \bar{\beta} \end{cases} \dots \quad (1.4)$$

により D_1 および D_2 内で (1.1) (または (1.2)) に対する Dirichlet 問題の解を求めてそれらをそれぞれ $u_n(P), (P \in D_1), u_n(P), (P \in D_2), (n=1, 2, \dots)$ とする。

$\phi(P)$ は条件 IV を考慮すれば $f(P)$ が L^1 上でも最大値と最小値の間の値をとらせるとよいが、理論的には有界かつ区分的に連続であればよい。さて u_n, v_n の収束を証明するために、優函数列と劣函数列を次のように作る。

$$m = \max[\sup |\phi(P)|, \sup f(P)] \dots \quad (1.5)$$

とおく。ここで (P) は ϕ については $\bar{\alpha}$ 上と、 f については L^1 上を動くものとする。

$$v_0^+(P) = m, \quad v_0^-(P) = -m \text{ として}$$

$$u_n^+(P) = \begin{cases} f(P) & \dots \quad (P) \in \alpha \\ v_{n-1}^+(P) & \dots \quad (P) \in \bar{\alpha} \end{cases} \dots \quad (1.6)$$

$$v_n^+(P) = \begin{cases} f(P) & \dots \quad (P) \in \beta \\ u_n^+(P) & \dots \quad (P) \in \bar{\beta} \end{cases} \dots \quad (1.7)$$

により D_1, D_2 内で (1.1) (または (1.2)) の Dirichlet 問題をとれ
れぞれ $u_n^+(P), v_n^+(P) (n=1, 2, \dots)$ とする。

$u_n^-(x, y), v_n^-(x, y) (n=1, 2, \dots)$ も同様に境界条件

$$u_n^-(P) = \begin{cases} f(P) & \dots \quad (P) \in \alpha \\ u_{n-1}^-(P) & \dots \quad (P) \in \bar{\alpha} \end{cases} \dots \quad (1.8)$$

$$v_n^-(P) = \begin{cases} f(P) & \dots (P) \in \beta \\ u_n^-(P) & \dots (P) \in \bar{\beta} \end{cases} \dots \quad (1.9)$$

から求められ D_1, D_2 内の解とする。すると条件 I, II, IV より

$$u_n^+(P) \geq u_n(P) \geq v_n^-(P), \quad (P) \in D_1 \dots \quad (1.10)$$

$$v_n^+(P) \geq v_n(P) \geq v_n^-(P), \quad (P) \in D_2 \dots \quad (1.11)$$

函数列 $u_n^+(P), v_n^+(P)$ は II より D_1, D_2 内でそれぞれ有界かつ単調減少だから III により極限函数が存在する。それらをそれぞれ $u^+(P), v^+(P)$ とする。函数列 $u_n^-(P), v_n^-(P)$ は II より D_1 および D_2 内で有界かつ单調増加だから III により極限函数が存在する。それらをそれぞれ $u^-(P), v^-(P)$ とする。 $D_1 \cap D_2$ の境界上で $u^+ = v^+, u^- = v^-$ となるから $D_1 \cap D_2$ 内で $u^+ = v^+, u^- = v^-$ となる。

さて v^+ は u^+ の D_2 内への接続であるから改めて両者を $D = D_1 \cup D_2$ 内で一つの函数と考えて u^+ で表わすことにする。同様に u^- も D 内での函数と考えると、 D の境界 L 上で $u^+ = u^-$ が成立するから、I によって D 内でも $u^+ = u^-$ となる。したがって u_n, v_n の極限函数も存在してこの函数と一致する。この函数を u とおくとき、 u が境界条件をみたすことは、その作り方、及ぶ条件 V からみたびかられる。

さて、領域 D_1 および D_2 における (1.1) (または (1.2)) の Dirichlet 問題の解は、互に他の領域に含まれる境界弧 α, β 上で求めればよい。したがって Schwarz の方法を適用する場合領域内の任意の点における解の値が境界値から計算できるような公式があることが望まれる。円における Poisson 積分、長方形における Fourier 展開公式、Green 函数の応用など、その例である。つぎに積分方程式の応用について述べよう。

§2. 積分方程式への変形

Nevanlinna [1939] は Schwarz の交換法が適用されるための必要十分条件として、ある ω^2 種 Fredholm 方程式が解をもつことを証明した。その証明は Green 函数を用いるが、つきのように述べることもできる。問題は、

境界曲線 L を弧長 s をパラメータとして、滑らかな函数

$$x = x(s), \quad y = y(s) \quad (0 \leq s \leq s_0)$$

で表わされている。また境界条件も s の函数として L 上で連続な函数 $f(s)$ により

$$n = f(s)$$

と与えられている。このとき L の内部で調和で上の境界条件をみたす函数 u をもとめる。

定理 7. 上の問題は積分方程式

$$u(\sigma) + \frac{1}{\pi} \int_0^{s_0} u(s) \frac{d}{ds} \arctg \frac{y(s)-y(\sigma)}{x(s)-x(\sigma)} ds = \frac{1}{\pi} f(\sigma) \dots (2.1)$$

の解 $u(s)$ によって

$$u(x, y) = \int_0^{s_0} u(s) \frac{d}{ds} \omega(s, x, y) ds \dots (2.2)$$

と表わされる。

ここで $d\omega(s, x, y)$ は点 (x, y) から見た ds の視角である。

とくに円内調和函数は Poisson 積分

$$u(x, y) = \frac{1}{2\pi} \int_{-\pi}^{\pi} u(x_0 + R \cos \phi, y_0 + R \sin \phi) \frac{R^2 - r^2}{R^2 - 2Rr \cos(\phi - \theta) + r^2} d\phi \dots (2.3)$$

$$x = x_0 + r \cos \theta, y = y_0 + r \sin \theta$$

で求められる。

一般に Green 関数が存在する領域に対しては、

$$u(x, y) = - \int_L u(\xi, \eta) \frac{\partial G(x, y; \xi, \eta)}{\partial n} d\sigma \quad \dots \quad (2.4)$$

と表わすことができる。

さて、前節における u_n, v_n の実際的な作り方は、一般にはこの公式を直接つかうのが上いであろう。再び Fig.1 の場合について考える。 G_1 および G_2 をそれぞれ領域 D_1 および D_2 における Green 関数とする。そして

$$F_1(x, y) = - \int_{\alpha} f(\xi, \eta) \frac{\partial G_1(x, y; \xi, \eta)}{\partial n} d\sigma \quad \dots \quad (2.5)$$

$$F_2(x, y) = - \int_{\beta} f(\xi, \eta) \frac{\partial G_2(x, y; \xi, \eta)}{\partial n} d\sigma \quad \dots \quad (2.6)$$

とおく、すると $u(x, y)$ の $\bar{\alpha}$ および $\bar{\beta}$ 上の未知の値は連立積分方程式

$$u(x, y) = F_2(x, y) - \int_{\bar{\beta}} u(\xi, \eta) \frac{\partial G_2(x, y; \xi, \eta)}{\partial n} d\sigma, \quad (x, y) \in \bar{\alpha} \dots \quad (2.7)$$

$$u(x, y) = F_1(x, y) - \int_{\bar{\alpha}} u(\xi, \eta) \frac{\partial G_1(x, y; \xi, \eta)}{\partial n} d\sigma, \quad (x, y) \in \bar{\beta} \dots \quad (2.8)$$

を満足する。(2.8)と(2.7)に代入すると

$$u(x, y) = F_2(x, y) - \int_{\bar{\alpha}} u(\xi, \eta) k(x, y; \xi, \eta) d\sigma, \quad (x, y) \in \bar{\alpha} \dots \quad (2.9)$$

である。

$$F(x, y) = F_2(x, y) - \int_{\bar{\beta}} F_1(\xi, \eta) \frac{\partial G_2(x, y; \xi, \eta)}{\partial n} d\sigma \dots (2.10)$$

$$k(x, y; \xi, \eta) = \int_{\bar{\beta}} \frac{\partial G_2(x, y; \xi_1, \eta_1)}{\partial n} \cdot \frac{\partial G_1(\xi_1, \eta_1; \xi, \eta)}{\partial n} d\sigma_1 \dots (2.11)$$

によって、 $\bar{\alpha}$ 上の点における u の値が求まり、次に(2.8)により、 $\bar{\beta}$ 上の点における u の値が求まる。その後 D 内の任意の点 (x, y) における u の値は、(2.7), (2.8)において (x, y) を D 内の任意の点として求められる。

上記の計算方式においては、Green 関数の法線微分を求めることが必要であり、その計算は一般には、多くの問題より難かしい。しかし (2.1) - (2.4) は解の値が境界値の荷重平均であることを示しており、また (2.9) - (2.11) は領域 D 内の重要な分割線について、その上の解の値を求めるなどを示している。これがわれわれが線の方法として重要視しているものである。

§ 3. C. Neumann の方法

さきに Seumann の方法が領域の和集合に対して Dirichlet 問題の解を与えたのに対して、ここに述べる Neumann の方法は、領域の共通集合に対して線形同次方程式 (1.2), $g=0$ の解を構成する方法を与える。

領域は 3. たとえば Fig. 1 で与えられるものを使う。 $D' = D_1 \cap D_2$ の境界 $L' = \bar{\alpha} + \bar{\beta} + \gamma$ 上で区別的に連続な函数 $f(P)$ が与えられたとき、 D' で

$$au_{xx} + 2bu_{xy} + cu_{yy} + du_x + eu_y + fu = 0$$

を満足し、 L' 上で $f(P)$ と一致する解 $u(x, y)$ を D_1 および D_2 に対する Dirichlet 問題の解から作る方法が、ここで論じられる。

解 $u(x, y)$ を D_1 および D_2 で定められる二つの函数 $v(x, y)$ と $w(x, y)$

の和として表わすようにしよう。Neumann の方法が成立するためには、Schwarz の手法の場合における仮定 I-V (ただし II はこの場合 IV からみちびかれていて不要) の外に後に述べる仮定 VI が満足されなければならぬ。共通領域の境界成分 γ は、 α と β 上の共通部分弧 (または真) よりなる。

さて境界条件

$$v_1(P) = \begin{cases} f(P) & \dots \quad P \in \gamma \\ \phi(P) & \dots \quad P \in \alpha - \gamma \\ \psi(P) & \dots \quad P \in \beta \end{cases} \quad (3.1)$$

を与えて D_1 内で (1.2) の Dirichlet 問題の解をもとめ、それを $v_1(P)$, $P \in D_1$ としよう。ここで $\phi(P)$, $\psi(P)$ は区分的に連続な函数であるという制限のもとに任意に与えられた函数である。

この函数 $v_1(P)$ の $\bar{\beta}$ 上の値を用いて、境界条件

$$w_1(P) = \begin{cases} 0 & \dots \quad P \in \beta \\ f(P) - v_1(P) & \dots \quad P \in \bar{\beta} \end{cases} \quad (3.2)$$

を与えて、 D_2 内で (1.2) の Dirichlet 問題の解を求めて、それを $w_1(P)$, $P \in D_2$ とかくことにする。この作り方からして函数 $v_1(P) + w_1(P)$ は L' 上で $f(P)$ と等しい値をとる。これより $n = 2, 3, \dots$ に対して函数列 $v_n(P)$, $w_n(P)$ をそれぞれ境界条件

$$v_n(P) = \begin{cases} v_{n-1}(P) & \dots \quad P \in \alpha \\ f(P) - w_{n-1}(P) & \dots \quad P \in \bar{\alpha} \end{cases} \quad (3.3)$$

および

$$w_n(P) = \begin{cases} 0 & \dots P \in \beta \\ f(P) - v_n(P) & \dots P \in \bar{\beta} \end{cases} \dots (3.4)$$

により領域 D_1 および D_2 内で (1.2), $y=0$ の Dirichlet 問題の解を求めて、それらをまた $v_n(x, y)$, $(x, y) \in D_1$ および $w_n(x, y)$, $(x, y) \in D_2$ とかくことにする。これらは函数列が、それぞれの領域内で収束することとしながるためには、優函数列、劣函数列を交互に行ふ。その作り方が Schwarz の場合と少し異なる。

$\bar{\alpha}$ 上で与えた $\psi(P)$ の絶対値の上界を M としよう。

$$M \geq |\psi(P)| \dots (3.5)$$

そのとき境界条件

$$v_1^+(P) = \begin{cases} f(P) & \dots P \in \gamma \\ \phi(P) & \dots P \in \alpha - \gamma \\ M & \dots P \in \bar{\alpha} \end{cases} \dots (3.6)$$

$$w_1^-(P) = \begin{cases} 0 & \dots P \in \beta \\ f(P) - v_1^+(P) & \dots P \in \bar{\beta} \end{cases} \dots (3.7)$$

$$v_n^+(P) = \begin{cases} v_{n-1}^+(P) & \dots P \in \alpha \\ f(P) - w_{n-1}^-(P) & \dots P \in \bar{\alpha} \end{cases} \dots (3.8)$$

$$w_n^-(P) = \begin{cases} 0 & \dots P \in \beta \\ f(P) - v_n^+(P) & \dots P \in \bar{\beta} \end{cases} \dots (3.9)$$

により D_1 および D_2 外における (1.2) の Dirichlet 問題の解の列

$v_n^+(P), w_n^-(P)$, ($n = 1, 2, \dots$) を得る。仮定 IV によって

$$v_n^+(P) \geq v_n(P), \quad P \in D_1 \quad \dots \quad (3.10)$$

$$w_n^-(P) \geq w_n^-(P), \quad P \in D_2 \quad \dots \quad (3.11)$$

であり、 v_n の優函数列 v_n^+ および w_n の劣函数列 w_n^- がそれぞれの領域で得られた。(3.6) における M の代りに -M とおき、(3.6)～(3.9) の肩つき符号 +, - を入れかえると、逆に v_n の劣函数列 v_n^- , w_n の優函数列 w_n^+ がそれぞれの領域内で得られる。

$$v_n(P) \geq v_n^-(P), \quad P \in D_1 \quad \dots \quad (3.12)$$

$$w_n^+(P) \geq w_n^-(P), \quad P \in D_2 \quad \dots \quad (3.13)$$

これらは函数列が収束することには上記の仮定 I-V からはずれないのでない。したがつて次の仮定をおく。

VI 上記の函数列のうち、優函数列 $v_n^+(P), w_n^+(P)$ は単調減少、劣函数列 $v_n^-(P), w_n^-(P)$ は単調増加である。この仮定 VI により極限函数がそれ存在するから、それらを $v^+(P), w^+(P), v^-(P), w^-(P)$ とおくと、
 $u(P) = v^+(P) + w^-(P)$ は $D' = D_1 \cap D_2$ で定義されて (1.2), $g \equiv 0$ を満足し、境界 L' 上で与えられた函数 $f(P)$ と一致することが証明できる。

$v^-(P) + w^+(P)$ もまたこの $u(P)$ と同じく解になるが、解の一意性よりこれは $u(P)$ と等しくなる。そしてまた解の一意性より

$$v^+(P) = v^-(P) = \lim_{n \rightarrow \infty} v_n(P), \quad P \in D_1 \quad \dots \quad (3.14)$$

$$w^+(P) = w^-(P) = \lim_{n \rightarrow \infty} w_n(P), \quad P \in D_2 \quad \dots \quad (3.15)$$

となるのである。

Neumann の方法で注目されることは、Dirichlet 問題が長方形に対して解ければ、その共通集合として三角形についても解け Schwarz の方法と組み合わせれば任意の多角形について Dirichlet 問題の解を与える方法が示されることがある。

§4. 2次境界値問題からの準備

2階線形常微分方程式の2次境界値問題

$$y'' + p(x)y' + q(x)y = r(x) \quad \dots \quad (4.1)$$

$$\begin{cases} \alpha_1 y(a) + \beta_1 y'(a) = \gamma_1 \\ \alpha_2 y(b) + \beta_2 y'(b) = \gamma_2 \end{cases} \quad \dots \quad (4.2)$$

から導びかれる2階線形差分方程式

$$a_n y_{n-1} + b_n y_n + c_n y_{n+1} = d_n, \quad (n = 1, 2, \dots, m) \dots \quad (4.3)$$

$a_1 = 0, c_m = 0$ を解く問題は一般に3重対角行列の逆行列を求めることになる。これは前進後退消去法で、つきのように解かれる。すなはち、前進部分。

$$\begin{cases} w_1 = c_1/b_1 \\ w_n = c_n/(b_n - a_n w_{n-1}), \quad 2 \leq n \leq m \end{cases} \quad \dots \quad (4.4)$$

$$\begin{cases} g_1 = d_1/b_1 \\ g_n = (d_n - a_n g_{n-1})/(b_n - a_n w_{n-1}), \quad 2 \leq n \leq m \end{cases} \dots \quad (4.5)$$

および後退代入部分

$$\begin{cases} y_m = g_m, \\ y_n = g_n - w_n y_{n+1}, \quad 1 \leq n \leq m-1. \end{cases} \quad \dots \quad (4.6)$$

によって解かれる。この方法は非常に計算が簡単であるという利点がある反面丸め誤差の累積による不安定性が起り得るが、Wilkinson [1961] は対角優位 (diagonally dominant) すなはち、

$$|b_n| \geq |a_n| + |c_n|, \quad (n = 1, 2, \dots, m) \quad \dots \quad (4.7)$$

などときれいめ誤差の成長の度では非常に安定であることを示した。

(4.3) において $a_n = 1$, ($n = 1, 2, \dots, m$) の場合には、それに対応する行列は、

$$\begin{pmatrix} b_1 & c_1 & & & & d_1 \\ 1 & b_2 & c_2 & & & d_2 \\ & 1 & b_3 & c_3 & & d_3 \\ & & \ddots & \ddots & \ddots & \vdots \\ & & & 1 & b_{m-1} & c_{m-1} & d_{m-1} \\ 0 & & & & 1 & b_m & d_m \end{pmatrix} \dots \quad (4.8)$$

となる。この行列に行演算を施して正規形にするのは、1がそのまま残る形の正規形がよい。この行列の第1行の b_1, c_1 を第2, 第3行を復って消去すると、0でない要素が右に移動して、ついで (1, m) 要素まで到って止まる。それは y^m を与える式に対応することになる。計算手順は次のようにすればよい。

$$\left. \begin{aligned} p_1 &= b_1, \quad q_1 = c_1, \\ p_{n+1} &= q_n - p_n b_{n+1}, \quad n = 1, 2, \dots, m-1 \\ q_{n+1} &= -p_n c_{n+1}, \quad n = 1, 2, \dots, m-2 \end{aligned} \right\} \dots \quad (4.9)$$

によって p_m を求めると、解ベクトルの最終要素 y_m は次の式で与えられる。

$$y_m = \frac{1}{p_m} (d_1 - \sum_{i=1}^{m-1} d_{i+1} p_i) \quad \dots \quad (4.10)$$

y_m が求まつたからは、逐次代入して $y_{m-1}, y_{m-2}, \dots, y_2, y_1$ の順に定まる。ちなみはち。

$$\begin{aligned} y_{m-1} &= d_m - b_m y_m \\ y_n &= d_n - b_n y_{n+1} - c_n y_{n+2}, \quad n = m-2, m-3, \dots, 2, 1 \end{aligned} \quad \left. \right\} (4.11)$$

また明らかにようやく (4.3)において $c_n = 1, (n=1, 2, \dots, m-1)$ の場合にも同じような方法が適用できる。この場合は y_1 が先に求まり、逐次代入法により y_2, y_3, \dots, y_m が求まる。

とくに定数係数の2階線形差分方程式

$$\begin{aligned} -y_{n-1} + \alpha y_n - y_{n+1} &= \beta_n, \quad (n = 1, 2, \dots, m) \\ y_0 = a, \quad y_{m+1} = b \end{aligned} \quad \left. \right\} \dots \quad (4.12)$$

は Chebyshev の多項式を用いて、一度に解の公式が得られる。(4.9)
を考慮して、多項式が漸化式

$$\begin{aligned} p_0(x) &= 1, \quad p_1(x) = x, \\ p_{n+1}(x) &= xp_n(x) - p_{n-1}(x) \end{aligned} \quad \left. \right\} \dots \quad (4.13)$$

で定義されていふものとする。 $p_n(x)$ は n 次多項式で、 n 次正方形行列

$$J = \begin{pmatrix} 0 & -1 & & & \\ -1 & 0 & & & \\ & & 0 & & \\ & & & 0 & \\ & & & & \ddots \\ & & & & & -1 \\ & & & & & & 0 \\ & & & & & -1 & \\ & & & & & & 0 \end{pmatrix} \quad \dots \quad (4.14)$$

の固有多項式と同じくなる。またがんばんな計算により $|x| \leq 2$ のとき

$$p_n(x) = \frac{\sin(n+1)\theta}{\sin \theta}, \quad x = 2\cos \theta \quad \dots \quad (4.15)$$

$x \geq 2$ のとき

$$p_n(x) = \frac{\sinh(n+1)\theta}{\sinh \theta}, \quad x = 2\cosh \theta \quad \dots \quad (4.16)$$

と書くことができる。これにより ℓ, m, n を整数とするとき関係式

$$p_\ell(x)p_{m-n}(x) - p_m(x)p_{\ell-n}(x) = p_{m-\ell-1}(x)p_{n-1}(x) \dots \quad (4.17)$$

をみだす。いくつに $m+1$ が $\ell+1$ の倍数であるとき $p_\ell(x)$ は $p_m(x)$ を割り切ることも知れる。

この多項式を用いて (4.12) を解くのには次のようにする。

(4.12) の両辺に $p_{m-n}(\alpha)$ を掛けて n について 1 から m まで加えると (4.13) により次の式を得る。

$$p_m(\alpha)y_1 = y_{m+1} + p_{m-1}(\alpha)y_0 + \sum_{k=1}^m p_{m-k}(\alpha)\beta_k. \quad \dots \quad (4.18)$$

これは y_1 以外に未知数をもたないから, y_1 が求まる。したがって漸化式 (4.12) に逐次代入して y_2, y_3, \dots, y_m が求まるが、丸め誤差が成長することもあること、および y_k をすべての $k=1, 2, \dots, m$ について求める必要のないこともあることの観察から、途中の任意の k に対する y_k の値を求める公式を作ることにする。 (4.18) で m の代りに ℓ とおけば次の式を得る。

$$p_\ell(\alpha)y_1 = y_{\ell+1} + p_{\ell-1}(\alpha)y_0 + \sum_{k=1}^{\ell} p_{\ell-k}(\alpha)\beta_k \dots \quad (4.19)$$

これと (4.18) から y_1 を消去し、(4.17) を用いて変形すると

$$\begin{aligned}
 p_m(\alpha) y_{\ell+1} &= p_\ell(\alpha) [y_{m+1} + \sum_{k=\ell+1}^m p_{m-k}(\alpha) \beta_k] \\
 &\quad + p_{m-\ell-1}(\alpha) [y_0 + \sum_{k=1}^{\ell} p_{k-1}(\alpha) \beta_k] \dots \quad (4.20)
 \end{aligned}$$

を得る。これは任意の ℓ ($1 \leq \ell \leq m$) に対する (4.12) の解を与える公式である。たぐに $m+1 = 2(\ell+1)$ の場合には $p_\ell(x)$ は $p_m(x)$ を割り切るから

$$q(x) = p_m(x)/p_\ell(x) = p_m(x)/p_{m-\ell-1}(x) \dots \quad (4.21)$$

とあれば (4.20) は

$$\begin{aligned}
 y_{\ell+1} &= \{y_0 + y_{m+1} + p_\ell(\alpha) \beta_{\ell+1} \\
 &\quad + \sum_{k=1}^{\ell} p_{k-1}(\alpha) (\beta_k + \beta_{m-k+1})\} / q(\alpha) \dots \quad (4.22)
 \end{aligned}$$

となる。たぐに同次方程式の場合 $\beta_n = 0$ ($n=1, 2, \dots, m$) だから

$$y_{\ell+1} = \{y_0 + y_{m+1}\} / q(\alpha), \quad m+1 = 2(\ell+1) \dots \quad (4.23)$$

となる。これらの公式は分割数 $m+1$ が 2 の累乗になつていろとき効果がある。多項式 $p_n(x)$ の値は $x > 2$ で急増加するから、 m を 20-30 位に止めないと計算機の表現する数の範囲をこえてしまう。

§ 5. 偏差分方程式

偏微分方程式とその近似差分方程式で書きかえて近似解を求めることは線形方程式の場合に広く行なわれるようになつた。D を xy 平面上の任意の領域とし、その境界を L とする。

a, b, c, d, e, f および g を $\bar{D} = D + L$ 内で十分滑らかな xy の函数とする。 D 内で偏微分方程式

$$L(u) = au_{xx} + 2bu_{xy} + cu_{yy} + du_x + eu_y + fu = g \quad \dots \quad (5.1)$$

を満足し、 L 上で与えられた函数 u と一致する、 D 内で有界な函数 u を求めるという問題を離散的に考えて、 D 内に正方形子を作り、その格子点 P における解 u の値を $U(P)$ とかくと、連立1次方程式

$$L_h(U(p)) = \sum_Q A(P, Q) U(Q) = g(P) \quad \dots \quad (5.2)$$

が得られる。 $L(u) - L_h(U) = O(h^2)$ となるように $A(P, Q)$ を定めるのが多い。このとき $L_h(U)$ の $L(u)$ への近似度は 2 であるといふ。

いま領域 D が、とくに長方形であるとし、その 4 頂点を $(0, 0)$, $((m+1)h, 0)$, $(0, (n+1)h)$, $((m+1)h, (n+1)h)$ とあるものとしよう。ここで h はさきの間隔で、 m, n は自然数で、 $m+1, n+1$ が x, y 方向の分割数となる。

一般に $f(ih, jh)$ を $f_{i,j}$ と書くが、とくに解 u については $U_{i,j} = u(ih, jh)$ と大文字を使う。解 $U_{i,j}$ ($i=1, 2, \dots, m$; $j=1, 2, \dots, n$) を n 個づつ組合せてベクトル $u^i = (U_{i,j})$, $j=1, 2, \dots, n$ と書こう。 u^0, u^{m+1} も同様に定めるが、これは定数ベクトルである。 u^i は解の一線上 $i=\text{const}$ にあるものをまとめたベクトルである。 (5.2) を行列 × ベクトル方程式として、

$$A_i u^{i-1} + B_i u^i + C_i u^{i+1} = g^i \quad \dots \quad (5.3)$$

$$i = 1, 2, \dots, m$$

上表わすことができる。 A_i, B_i, C_i は 3×3 重対角行列となる。

$$A_i = (a_{jk}^{(i)}), \quad B_i = (b_{jk}^{(i)}), \quad C_i = (c_{jk}^{(i)}) \quad とすれば$$

$$\left. \begin{aligned} a_{j,j}^{(i)} &= a_{i,j} - d_{i,j} h/2, \\ a_{j,j+1}^{(i)} &= -b_{i,j}/2, \\ a_{j+1,j}^{(i)} &= b_{i,j}/2, \\ a_{j,k}^{(i)} &= 0 \quad \dots \quad (j > k+1, \quad k > j+1) \end{aligned} \right\} \dots \quad (5.4)$$

$$\left. \begin{aligned} b_{j,j}^{(i)} &= -2a_{i,j} - 2c_{i,j} + f_{i,j} h^2, \\ b_{j,j+1}^{(i)} &= c_{i,j} + e_{i,j} h/2, \\ b_{j+1,j}^{(i)} &= c_{i,j} - e_{i,j} h/2, \\ b_{j,k}^{(i)} &= 0 \quad \dots \quad (j > k+1, \quad k > j+1) \end{aligned} \right\} \dots \quad (5.5)$$

$$\left. \begin{aligned} c_{j,j}^{(i)} &= a_{i,j} + d_{i,j} h/2 \\ c_{j,j+1}^{(i)} &= b_{i,j}/2 \\ c_{j+1,j}^{(i)} &= -b_{i,j}/2 \\ c_{j,k}^{(i)} &= 0 \quad \dots \quad (j > k+1, \quad k > j+1) \end{aligned} \right\} \dots \quad (5.6)$$

また右辺は左辺に h^2 を掛けたもので、 g^i の成分 $g_{i,j}^{(j+1,2,\dots,n)}$ は

$$g_{i,j} = h^2 g(ih, jh) \quad \dots \quad (j=2, 3, \dots, n-1) \quad \dots \quad (5.7)$$

$$\begin{aligned} g_{i,1} &= h^2 g(ih, h) + (b_{i-1,1}/2) U_{i-1,0} - (b_{i+1,1}/2) U_{i+1,0} \\ &\quad - (c_{i,1} - e_{i,1} h/2) U_{i,0} \quad \dots \quad (5.8) \end{aligned}$$

$$g_{i,n} = h^2 g(ih, nh) - (b_{i-1,n}/2) U_{i-1,n+1} \\ + (b_{i+1,n}/2) U_{i+1,n+1} - (c_{i,n} + e_{i,n} h/2) U_{i,n+1} \quad \dots \quad (5.9)$$

で与えられる。いくに(5.1)が" u_{xy} " の項をもたないときには、行列 A_i , C_i は対角行列で、容易にその逆行列が求まる。したがって A_i または C_i がすべての i に対して単位行列であるとしてもよい。

一般に連立方程式 (5.3) を直接消去法で解くのは、前節の3重対角行列の逆転と似た方法が考えられる。(4.4)-(4.6) に対応する前進後退消去法では、まず前進部分

$$w_1 = B_1^{-1} C_1, \\ w_i = (B_i - A_i w_{i-1})^{-1} \cdot C_i, \quad i = 2, 3, \dots, m \quad \} \quad \dots \quad (5.10)$$

$$k^1 = B_1^{-1} (g^1 - A_1 u^0), \\ k^2 = (B_2 - A_2 w_1)^{-1} (g^2 - A_2 (g^1 - A_1 u^0)), \\ k^i = (B_i - A_i w_{i-1})^{-1} (g^i - A_i g^{i-1}), \quad i = 3, 4, \dots, m-1 \\ k^m = (B_m - A_m w_{m-1})^{-1} (g^m - A_m g^{m-1} - C_m u^{m+1}) \quad \} \quad \dots \quad (5.11)$$

と後退部分

$$u^m = k^m \\ u^i = k^i - w_i u^{i+1}, \quad i = m-1, m-2, \dots, 2, 1 \quad \} \quad \dots \quad (5.12)$$

により解 u^i が逆順に求まる。

しかし後退部分で w_i を使用することは記憶装置を大量に使用すること

から得策ではない。Varga [1962] をまつまでもなく実現の見込みが薄い。そこで"救済策として, u^m が求まつた後は漸化式(5.3)自身を使用することを勧告する。 A_i が対角行列のときは、なお効果がある。それにも (5.10)で"逆行列を求める"ことが、しばしば"出てくる"ことからこの方法は次の方法に席を譲るのがよいと思われる。すなはち (4.9)-(4.11) に対応する方法で、 A_i (または C_i) がすべてすべてに逆行列が求まる場合を考える。この場合初めから A_i をすべて単位行列とすることができる。したがって連立方程式を次のように書く。

$$u^{i-1} + B_i u^i + C_i u^{i+1} = g^i \quad (i = 1, 2, \dots, m) \quad \dots \quad (5.13)$$

そのとき

$$\begin{aligned} D_1 &= B_1, \quad E_1 = C_1 \\ D_{i+1} &= E_i - D_i B_{i+1} \quad i = 1, 2, \dots, m-1 \\ E_{i+1} &= -D_i C_{i+1} \quad i = 1, 2, \dots, m-2 \end{aligned} \quad \dots \quad (5.14)$$

により D_m を求めると、 u^m は次の式から求まる。

$$D_m u^m = g^1 - u_0 + D_{m-1} C_m u^{m+1} - \sum_{i=1}^{m-1} D_i g^{i+1} \quad \dots \quad (5.15)$$

あとは u^{m+1} , u^m から (5.13) に代入して逆順に解が求まる。注目すべきことは、この方法では、ただ一度しか行列を逆転していないことである。

公式 (5.14)-(5.15) による計算方法は線消去法のアイデアにちりづき、それを逆順に応用している。最後の u^2, u^1, u^0 を (5.13) に代入すれば解の精度のチェックに役立つことを強調しておく。

(5.3)において、いくにすべての i に対して $A_i = C_i$ で、すべて正則で

逆行列が容易に求まるときには、(5.3) の両辺にその逆行列を掛けておくことにより次の連立方程式を考えればよい。

$$u^{i-1} + B_i u^i + u^{i+1} = g^i \quad (i = 1, 2, \dots, m) \quad \dots \quad (5.16)$$

この場合 (5.14) は次のようにかんたんになる。

$$\left. \begin{array}{l} D_0 = I, \quad D_1 = B_1 \\ D_{i+1} = -D_i B_{i+1}^{-1} D_{i-1}, \quad i = 1, 2, \dots, m-1 \end{array} \right\} \dots \quad (5.17)$$

解ベクトルの最後のもの u^m は

$$D_m u^m = g^1 - u^0 + D_{m-1} u^{m+1} - \sum_{i=1}^{m-1} D_i g^{i+1} \quad \dots \quad (5.18)$$

で与えられる。

以下に数値例で与えられるものは Laplace 方程式の Dirichlet 問題で、この場合にはすべての B_i が i に關係ない定数行列となる。これは前節 (4.12)-(4.23) に述べた公式と類似の公式によって解くことができる。

これについては節を改めて書く。

§6. 長方形における Dirichlet 問題の直接解

Helmholtz の偏微分方程式

$$\Delta u(x, y) - \kappa u(x, y) = g(x, y) \quad \dots \quad (6.1)$$

の Dirichlet 問題を長方形で考える。ここで κ は定数とする。前節述べた差分方程式は、Laplacian の 5 点近似公式を用いれば

$$u^{i-1} + (J - (4 + \kappa h^2)I) u^i + u^{i+1} = g^i \quad \dots \quad (6.2)$$

となる。ここで J は (4.14) で定義された行列, I は J と同次の単位行列である。

調和函数 ($k=0, g \equiv 0$) に対しては 真公式を用いるのがよく、その時には

$$(4I+J)u^{i-1} + 4(J-5I)u^i + (4I+J)u^{i+1} = g^i \quad \dots \quad (6.3)$$

となる。この場合 (6.1) の Δu への近似度は 6 である。この近似度は挨拶の問題などで表わされ $\Delta u = \text{const.}$ なる方程式に対しても保たれる。

また (6.1) 自身に対しても右辺のベクトル g^i をうまく作れば 近似度 6 の差分方程式を作ることができる。

たとえば, Poisson 方程式

$$\Delta u(x, y) = g(x, y) \quad \dots \quad (6.4)$$

について考えれば

$$\square_h U_{i,j} = U_{i+1,j} + U_{i-1,j} + U_{i,j+1} + U_{i,j-1} - 4U_{i,j} \quad \dots \quad (6.5)$$

おまけ

$$\square_h^2 U_{i,j} = U_{i+1,j+1} + U_{i+1,j-1} + U_{i-1,j+1} + U_{i-1,j-1} - 4U_{i,j} \quad \dots \quad (6.6)$$

で \square_h, \square_h^2 なる差分演算子を定義するとき

$$L_h(U) = \frac{1}{6h^2} (4\square_h U + \square_h^2 U) - \frac{2}{4!} h^2 \Delta g - \frac{2}{6!} h^4 (\Delta^2 g + 2 \frac{\partial^4 g}{\partial x^2 \partial y^2}) \quad \dots \quad (6.7)$$

で $L_h(U)$ を定義すれば $L_h(U) - \Delta u = O(h^6)$ となる。 Δg の計算が面倒であつたり, g が離散的に与えられるときには, Δg の代りに $\frac{1}{h^2} \square_h g$ を代入し (6.7) の右辺の最後の項を省略して, 近似度 4 の公式を得る。

さて行列 J は次の行列 S による相似変換で対角形になる。

$$S = (s_{ij}) = (\sin \frac{ij\pi}{n+1}) \quad \dots \quad (6.8)$$

$$S^{-1} = \frac{2}{n+1} S \quad \dots \quad (6.9)$$

$$S J S^{-1} = \Lambda \quad \dots \quad (6.10)$$

$$\Lambda = (\lambda_i \delta_{ij}) = \langle \lambda_i \rangle = \langle 2 \cos \frac{i\pi}{n+1} \rangle \quad \dots \quad (6.11)$$

ここで " $\langle \rangle$ " は対角行列を表すことにする。 δ_{ij} は Kronecker の デルタである。簡単に次のことがわかる。

$$S J S = \frac{n+1}{2} \Lambda \quad \dots \quad (6.12)$$

また α や β をスカラーとすると

$$S(\alpha I + \beta J)S = \frac{n+1}{2}(\alpha I + \beta J) \quad \dots \quad (6.13)$$

したがって (6.2) や (6.3) はベクトルの変換

$$u = Sv \quad \dots \quad (6.14)$$

によって それぞれ

$$v^{i-1} + (\Lambda - (4+xh^2)I)v^i + v^{i+1} = \frac{2}{n+1} S g^i \quad \dots \quad (6.15)$$

および

$$(4I + \Lambda)v^{i-1} + 4(\Lambda - 5I)v^i + (4I + \Lambda)v^{i+1} = \frac{2}{n+1} S g^i \quad \dots \quad (6.16)$$

となる。ここで"両式とも左辺の行列はすべて対角行列であることに注目すべきである。

COMPUTED VALUES (UPPER) AND TRUE VALUES (LOWER) OF THE SOLUTION OF $\Delta U = 0$ WITH BOUNDARY VALUES $X - 10X^3Y^2 + 5XY^4$ ON A SQUARE.

-0.0010	-0.0000	-0.0000	0.0000	0.0004	0.0018	0.0054	0.0128	0.0264	0.0494	0.0859	0.1409	0.2209	0.3332	0.4868	0.6921
-0.0000	-0.0000	-0.0000	0.0000	0.0004	0.0018	0.0054	0.0128	0.0264	0.0494	0.0859	0.1409	0.2209	0.3332	0.4868	0.6921
0.0000	-0.0001	-0.0006	-0.0012	-0.0014	-0.0004	0.0035	0.0123	0.0292	0.0580	0.1037	0.1723	0.2713	0.4093	0.5966	
0.0000	-0.0001	-0.0006	-0.0012	-0.0014	-0.0004	0.0035	0.0123	0.0292	0.0580	0.1037	0.1723	0.2713	0.4093	0.5966	
0.0003	0.0001	-0.0009	-0.0030	-0.0058	-0.0088	-0.0107	-0.0095	-0.0026	0.0134	0.0456	0.0936	0.1703	0.2826	0.4403	
0.0003	0.0001	-0.0009	-0.0030	-0.0058	-0.0088	-0.0107	-0.0096	-0.0026	0.0134	0.0456	0.0936	0.1703	0.2826	0.4403	
0.0011	0.0013	-0.0002	-0.0039	-0.0100	-0.0182	-0.0278	-0.0371	-0.0439	-0.0450	-0.0361	-0.0117	0.0347	0.1113	0.2275	
0.0011	0.0013	-0.0002	-0.0039	-0.0100	-0.0182	-0.0278	-0.0371	-0.0439	-0.0450	-0.0361	-0.0117	0.0347	0.1113	0.2275	
0.0027	0.0041	0.0027	-0.0024	-0.0119	-0.0262	-0.0449	-0.0670	-0.0907	-0.1132	-0.1310	-0.1389	-0.1515	-0.1996	-0.3358	
0.0027	0.0041	0.0027	-0.0024	-0.0119	-0.0262	-0.0449	-0.0670	-0.0907	-0.1132	-0.1310	-0.1389	-0.1515	-0.1996	-0.3358	
0.0058	0.0096	0.0095	0.0037	-0.0090	-0.0297	-0.0585	-0.0951	-0.1384	-0.1862	-0.2354	-0.2818	-0.3498	-0.4227	-0.5418	
0.0058	0.0096	0.0095	0.0037	-0.0090	-0.0297	-0.0585	-0.0951	-0.1384	-0.1862	-0.2354	-0.2818	-0.3498	-0.4227	-0.5418	
0.0110	0.0192	0.0220	0.0169	0.0018	-0.0248	-0.0641	-0.1164	-0.1813	-0.2574	-0.3424	-0.4328	-0.5237	-0.6091	-0.6812	
0.0110	0.0192	0.0220	0.0169	0.0018	-0.0248	-0.0641	-0.1164	-0.1813	-0.2574	-0.3424	-0.4328	-0.5237	-0.6091	-0.6812	
0.0189	0.0342	0.0423	0.0400	0.0243	-0.0072	-0.0566	-0.1250	-0.2129	-0.3197	-0.4439	-0.5830	-0.7329	-0.8885	-1.0428	
0.0189	0.0342	0.0423	0.0400	0.0243	-0.0072	-0.0566	-0.1250	-0.2129	-0.3197	-0.4439	-0.5830	-0.7329	-0.8885	-1.0428	
0.0305	0.0564	0.0732	0.0767	0.0628	0.0283	-0.0299	-0.1149	-0.2253	-0.3643	-0.5304	-0.7221	-0.9363	-1.4364	-2.1336	
0.0305	0.0564	0.0732	0.0767	0.0628	0.0283	-0.0299	-0.1149	-0.2253	-0.3643	-0.5304	-0.7221	-0.9363	-1.4364	-2.1336	
0.0467	0.0878	0.1175	0.1307	0.1222	0.0875	0.0227	-0.0756	-0.2098	-0.3815	-0.5912	-0.8384	-1.1212	-1.4364	-1.7792	
0.0467	0.0878	0.1175	0.1307	0.1222	0.0875	0.0227	-0.0756	-0.2098	-0.3815	-0.5912	-0.8384	-1.1212	-1.4364	-1.7792	
0.0687	0.1304	0.1785	0.2064	0.2078	0.1770	0.1089	-0.0011	-0.1566	-0.3604	-0.6144	-0.9189	-1.2735	-1.6761	-2.1232	
0.0687	0.1304	0.1785	0.2064	0.2078	0.1770	0.1089	-0.0011	-0.1566	-0.3604	-0.6144	-0.9189	-1.2735	-1.6761	-2.1232	
0.0975	0.1868	0.2598	0.3086	0.3257	0.3040	0.2371	0.1191	-0.0549	-0.2892	-0.5866	-0.9492	-1.3776	-1.8711	-2.4275	
0.0975	0.1868	0.2598	0.3086	0.3257	0.3040	0.2371	0.1191	-0.0549	-0.2892	-0.5866	-0.9492	-1.3776	-1.8711	-2.4275	
0.1346	0.2595	0.3653	0.4426	0.4825	0.4764	0.4165	0.2956	0.1071	-0.1544	-0.4935	-0.9135	-1.4164	-2.0030	-2.6725	
0.1346	0.2595	0.3653	0.4426	0.4825	0.4764	0.4165	0.2956	0.1071	-0.1544	-0.4935	-0.9135	-1.4164	-2.0030	-2.6725	
0.1813	0.3514	0.4993	0.6141	0.6852	0.7028	0.6572	0.5397	0.3423	0.0580	-0.3193	-0.7945	-1.3712	-2.0516	-2.8366	
0.1813	0.3514	0.4993	0.6141	0.6852	0.7028	0.6572	0.5397	0.3423	0.0580	-0.3193	-0.7945	-1.3712	-2.0516	-2.8366	
0.2393	0.4657	0.6665	0.8292	0.9418	0.9693	0.9923	0.9638	0.6646	0.3636	0.2470	-0.5738	-1.2220	-1.9955	-2.8968	
0.2393	0.4657	0.6665	0.8292	0.9418	0.9693	0.9923	0.9638	0.6646	0.3636	0.2470	-0.5738	-1.2220	-1.9955	-2.8968	

NJOB 00061 OJJOB 00143 PPJOB 00002 COMPILE TIME 00009SEC TOTAL TIME 00021SEC

ACCOUNT DATA002A00424054100381040641600251104121104530002 0005630002

THE COMPUTED VALUES (UPPER) AND TRUE VALUES OF THE SOLUTION OF $\Delta u = 0$ IN A SQUARE X, Y WITH BOUNDARY VALUES $u = \sin(x)\cos(y)$.

1.0242	0.12508	0.18823	0.25212	0.31699	0.38340	0.45071	0.52008	0.58148	0.66619	0.74571	0.82671	0.90333	0.98237	1.0.886
1.0242	0.12508	0.18823	0.25212	0.31699	0.38310	0.45071	0.52008	0.58148	0.66619	0.74571	0.82671	0.90333	0.98237	1.0.886
1.6205	0.12435	0.18713	0.25064	0.31513	0.38086	0.44807	0.44807	0.44807	0.44807	0.44807	0.44807	0.44807	0.44807	0.44807
1.6205	0.12435	0.18713	0.25064	0.31513	0.38086	0.44807	0.44807	0.44807	0.44807	0.44807	0.44807	0.44807	0.44807	0.44807
1.6144	0.12313	0.18530	0.24818	0.31204	0.37712	0.44368	0.44368	0.44368	0.44368	0.44368	0.44368	0.44368	0.44368	0.44368
1.6144	0.12313	0.18530	0.24818	0.31204	0.37712	0.44368	0.44368	0.44368	0.44368	0.44368	0.44368	0.44368	0.44368	0.44368
1.6060	0.12143	0.18274	0.24476	0.30774	0.37192	0.43755	0.43755	0.43755	0.43755	0.43755	0.43755	0.43755	0.43755	0.43755
1.6060	0.12143	0.18274	0.24476	0.30774	0.37192	0.43755	0.43755	0.43755	0.43755	0.43755	0.43755	0.43755	0.43755	0.43755
1.5951	0.11926	0.17947	0.24038	0.30223	0.36526	0.40972	0.40972	0.40972	0.40972	0.40972	0.40972	0.40972	0.40972	0.40972
1.5951	0.11926	0.17947	0.24038	0.30223	0.36526	0.40972	0.40972	0.40972	0.40972	0.40972	0.40972	0.40972	0.40972	0.40972
1.5819	0.11562	0.17549	0.23506	0.29532	0.35718	0.42021	0.42021	0.42021	0.42021	0.42021	0.42021	0.42021	0.42021	0.42021
1.5819	0.11662	0.17549	0.23506	0.29532	0.35718	0.42021	0.42021	0.42021	0.42021	0.42021	0.42021	0.42021	0.42021	0.42021
1.56665	0.11352	0.17084	0.22882	0.28770	0.34770	0.40906	0.40906	0.40906	0.40906	0.40906	0.40906	0.40906	0.40906	0.40906
1.56665	0.11352	0.17084	0.22882	0.28770	0.34770	0.40906	0.40906	0.40906	0.40906	0.40906	0.40906	0.40906	0.40906	0.40906
1.5488	0.10998	0.16551	0.22169	0.27873	0.33686	0.39631	0.39631	0.39631	0.39631	0.39631	0.39631	0.39631	0.39631	0.39631
1.5488	0.10998	0.16551	0.22169	0.27873	0.33686	0.39631	0.39631	0.39631	0.39631	0.39631	0.39631	0.39631	0.39631	0.39631
1.5290	0.10602	0.15954	0.21369	0.26867	0.32471	0.38201	0.44081	0.44081	0.44081	0.44081	0.44081	0.44081	0.44081	0.44081
1.5290	0.10602	0.15954	0.21369	0.26868	0.32471	0.38201	0.38201	0.38201	0.38201	0.38201	0.38201	0.38201	0.38201	0.38201
1.5072	0.10163	0.15295	0.20486	0.25757	0.31129	0.36622	0.42259	0.42259	0.42259	0.42259	0.42259	0.42259	0.42259	0.42259
1.5072	0.10163	0.15295	0.20486	0.25757	0.31129	0.36622	0.42259	0.42259	0.42259	0.42259	0.42259	0.42259	0.42259	0.42259
1.4833	0.09686	0.14576	0.19523	0.24546	0.29665	0.34901	0.40272	0.40272	0.40272	0.40272	0.40272	0.40272	0.40272	0.40272
1.4833	0.09686	0.14576	0.19523	0.24546	0.29665	0.34901	0.40272	0.40272	0.40272	0.40272	0.40272	0.40272	0.40272	0.40272
1.4409	0.08033	0.12089	0.16192	0.20359	0.24605	0.28947	0.33202	0.33202	0.33202	0.33202	0.33202	0.33202	0.33202	0.33202
1.4409	0.08033	0.12089	0.16192	0.20359	0.24605	0.28947	0.33202	0.33202	0.33202	0.33202	0.33202	0.33202	0.33202	0.33202
1.43701	0.07417	0.11161	0.14950	0.18796	0.22717	0.26725	0.30639	0.35073	0.39443	0.43963	0.48665	0.53552	0.58648	0.63974
1.43701	0.07417	0.11161	0.14950	0.18796	0.22717	0.26725	0.30639	0.35073	0.39443	0.43963	0.48665	0.53552	0.58648	0.63974

INJOB 00081 OUJOR 03143 PPJOB 00002 COMFILE TIME 00010SEC TOTAL TIME 000125SEC

ACCOUNT DATA30022A00424040441000155040441000052130220130225000250000600002

Tahle 2

EXTERNAL FORMULA NUMBER	SOURCE STATEMENT	INTERNAL FORMULA NUMBER
SUBROUTINE BETAV(U1,U2,U,Y0,Y1,L,N)		1
DIMENSION PETA(100),U1(100),U2(100),V(100),U(100),Y0(100),Y1(100)		
DOUBLE PRECISION BETA,U1,U2,V,U,Y0,Y1,PI,S,T,P		
COMMON PI,M,L1,L2		
DO 150 J=1,L1-1		2
DO 145 K=1,M		4
145 RETA(K)=(2.0/FLOAT(L1))*(U1(K)*DSIN(FLOAT(J)*PI/FLOAT(L1))+U2(K)*		
1DSIN(FLOAT(J*(L1-1))*PI/FLOAT(L1)))		6
IF(N-1) 151,151,152		7
151 S=Y1(J)		8
T=Y0(J)		9
GO TO 153		10
152 JL=J+L2		11
S=Y1(JL)		12
T=Y0(JL)		13
153 DO 146 K=L,M		14
AJ=J		16
AMK=M-K		17
AM=M		18
146 S=S+P(AMK,AJ)*BETA(K)		19
S=S/P(AM,AJ)		20
DO 147 K=1,L-1		21
AK=K-1		23
147 T=T+P(AK,AJ)*BETA(K)		24
T=T/P(AM,AJ)		25
AL=L-1		26
AML=M-L		27
IF(N-1) 161,161,162		28
161 V(J)=P(AL,AJ)*S+P(AML,AJ)*T		29
GO TO 150		30
162 V(JL)=P(AL,AJ)*S+P(AML,AJ)*T		31
150 CONTINUE		32
IF(N-1) 165,165,166		33
165 DO 155 J=1,L1-1		34
U(J)=0.0		36
DO 154 K=1,L1-1		37
154 U(J)=U(J)+DSIN(FLOAT(J*K)*PI/FLOAT(L1))*V(K)		39
155 CONTINUE		40
WRITE(6,211)(U(J),J=1,L1-1)		41
RETURN		45
166 DO 175 J=L2+1,M		46
JJ=J-L2		48
U(J)=U.0		49
DO 174 K=L2+1,M		50
KK=K-L2		52
174 U(J)=U(J)+DSIN(FLOAT(JJ*KK)*PI/FLOAT(L1))*V(K)		53
175 CONTINUE		54
WRITE(6,211)(U(J),J=L2+1,M)		55
211 FORMAT(1H0,9X,12HKFISAN KEKKA ,6X,(9F10.4))		59
RETURN		60
END		61

Fig.2 (1)

HARP 5020 COMPILED LIST		04/09/41
EXTERNAL FORMULA NUMBER	SOURCE STATEMENT	INTERNAL FORMULA NUMBER
DOUBLE PRECISION FUNCTION F(X,Y)		1
DOUBLE PRECISION X,Y,PI		
COMMON PI		
F=1000.0*DSIN(PI*X/3.0)*DSINH(PI*Y/3.0)/DSINH(PI)		2
RETURN		3
END		4

Fig.2 (2)

HARP 5020 COMPILED LIST		04/09/41
EXTERNAL FORMULA NUMBER	SOURCE STATEMENT	INTERNAL FORMULA NUMBER
DOUBLE PRECISION FUNCTION P(XX,YY)		1
DOUBLE PRECISION ALPHA,AA,BB,CC,PI		
COMMON PI,M,L1		
ALPHA=4.0-2.0*DCCS(YY*PI/FLOAT(L1))		2
IF(XX-1.0) 200,201,202		3
200 P=1.0		4
RETURN		5
201 P=ALPHA		6
RETURN		7
202 AA=1.0		8
BB=ALPHA		9
XN=2.0		10
203 CC=ALPHA*BB-AA		11
AA=BB		12
BB=CC		13
IF(XX.EQ.XN) GO TO 204		14
XN=XN+1.0		15
GO TO 203		16
204 P=BB		17
RETURN		18
END		19
		20

Fig.2 (3)

EXTERNAL FORMULA NUMBER	SOURCE STATEMENT	INTERNAL FORMULA NUMBER
DIMENSION U(100,100),P(100),B(100),Y(2)		
FUNC(AA,BB)=AA**5-10.0*AA**3*BB**2+5.0*AA*BB**4		1
N=15		2
H=1.0/FLOAT(N+1)		3
PI=3.14159265		4
DO 15 J=1,N		5
A=1.0		7
P(1)=(4.0*(5.0-2.0*COS((PI*FLOAT(J))/FLOAT(N+1))))/(4.0+2.0*COS((P 1*I*FLOAT(J))/FLOAT(N+1)))		8
DO 20 K=2,N		9
P(K)=P(1)*P(K-1)-A		11
A=P(K-1)		12
20 CONTINUE		13
SUM=0.0		14
DO 25 K=1,N		15
SUM=SUM+SIN((PI*FLOAT(J*K))/FLOAT(N+1))*FUNC(0.0,H*FLOAT(K))		17
25 CONTINUE		18
Y(1)=(2.0/FLOAT(N+1))*SUM		19
SUM=0.0		20
DO 28 K=1,N		21
SUM=SUM+SIN((PI*FLOAT(J*K))/FLOAT(N+1))*FUNC(1.0,H*FLOAT(K))		23
28 CONTINUE		24
Y(2)=(2.0/FLOAT(N+1))*SUM		25
DO 30 K=1,N		26
B(K)=(2.0/((4.0+2.0*COS((PI*FLOAT(J))/FLOAT(N+1)))*FLOAT(N+1)))*(S 1*IN((PI*FLOAT(J))/FLOAT(N+1))*FUNC(H*FLOAT(K-1),0.0)+4.0*FUNC(H*FL 20AT(K),0.0)+FUNC(H*FLOAT(K+1),0.0))+SIN((PI*FLOAT(J*N))/FLOAT(N+1) 3)*FUNC(H*FLOAT(K-1),1.0)+4.0*FUNC(H*FLOAT(K),1.0)+FUNC(H*FLOAT(K+ 41),1.0))		28
30 CONTINUE		29
DO 35 I=1,N		30
SUM=0.0		32
IF(I.EQ.N)GO TO 41		33
DO 40 K=I,N-1		35
NK=N-K		37
SUM=SUM+P(NK)*B(K)		38
40 CONTINUE		39
41 SUM=SUM+B(N)		40
IF(I.EQ.1)GO TO 43		41
Q=P(I-1)/P(N)		43
GO TO 47		44
43 Q=1.0/P(N)		45
47 SUM1=Q*(Y(2)+SUM)		46
SUM=0.0		47
IF(I.EQ.1)GO TO 45		48
IF(I.EQ.2)GO TO 51		50
DO 50 K=2,I-1		52
SUM=SUM+P(K-1)*B(K)		54
50 CONTINUE		55
51 SUM=SUM+B(1)		56
45 NI=N-I		57
IF(NI.EQ.0)GO TO 52		58
Q=P(NI)/P(N)		60
GO TO 54		61
52 Q=1.0/P(N)		62
54 SUM2=Q*(Y(1)+SUM)		63
U(I,J)=SUM1+SUM2		64
35 CONTINUE		65
15 CONTINUE		66
DO 55 J=1,N		67
DO 60 I=1,N		69
SUM=0.0		71
DO 65 K=1,N		72
SUM=SUM+SIN((PI*FLOAT(J*K))/FLOAT(N+1))*U(I,K)		74
65 CONTINUE		75
B(I)=SUM		76
P(I)=FUNC(H*FLOAT(I),H*FLOAT(J))		77
60 CONTINUE		78
WRITE(6,215)(B(I),I=1,N)		79
WRITE(6,215)(P(I),I=1,N)		83
WRITE(6,210)		87
55 CONTINUE		88
210 FORMAT(1H)		89
215 FORMAT(1H ,15F8.4)		90
STOP		91
END		92

Fig.2 (4)

$$v^i = (V_{i,j})_{i=1,2,\dots,n} \text{ また } \frac{2}{n+1} Sg^i = (G_{i,j})_{j=1,2,\dots,n}$$

とすれば、ベクトルの成分で書き表すことによって、その意味が一層よく理解される。すなはち。

$$V_{i-1,j} + (\lambda_j - 4 - \kappa h^2) V_{i,j} + V_{i+1,j} = G_{i,j} \dots \quad (6.17)$$

$$(4 + \lambda_j) V_{i-1,j} + 4(\lambda_j - 5) V_{i,j} + (4 + \lambda_j) V_{i+1,j} = G_{i,j} \dots \quad (6.18)$$

が得られる。 (6.18) において $4 + \lambda_j \neq 0$ だから $4 + \lambda_j$ で“両辺を割れば”
 (6.17) と同じ形となり、 (4.12) - (4.20) を用いて効果的に解くことができる。

Table 1. および Table 2. は二の方法で正方形 $0 \leq x \leq 1, 0 \leq y \leq 1$ 内で Laplace 方程式の Dirichlet 問題を解いた計算結果である。境界条件は、境界上で函数 $x^5 - 10x^3y^2 + 5xy^4$ を与えた時の解が Table 1 で $\sinh(x) \cos(y)$ を与えた時の解が Table 2 である。ともに分割数は x, y 両方向とも 16 である。

使用計算機は東京大学大型計算機センターの HITAC 5020 である。

$h = 1/16$ に対して 9 奥公式で 5 行の精度をもっている。

Fig. 2 にその計算プログラムを示す。

§7. 四型領域での Dirichlet 問題

線の方法と Schwarz の方法と併せて用いることによって, Fig. 3 のような穴あき正方形における調和函数の Dirichlet 問題を解いて見よう。

一辺の長さが 3 である正方形 ABCD のまん中に一辺の長さ 1 である正方形 EFGH が Fig. 3 のように辺が平行になるようにしてある。

この二つの正方形を境界にもつ穴あき正方形を領域 D とする。平面に直交座標系 (x, y) を導入して奥 A を座標原点とし \vec{AB} 方向を x 軸, \vec{AD} 方向を y 軸とする。内部正方形の辺の延長が外境界と交わる点を Fig. 3 のように P, Q, ..., W とする。

境界上で函数

$$\phi(x, y) = 1000.0 \cdot \sin \frac{\pi x}{3} \sinh \frac{\pi y}{3} / \sinh \pi \quad \dots \quad (7.1)$$

を与えて $\Delta u = \phi$ の Dirichlet 問題を領域 D でとく。領域 D を長方形 CDVS, ABRW, APUD, BCTQ の重ね合わせとして考える。初めに VH, GS; WE, FR エで出発値を適当に与える。後に示される計算例ではオノ近似を

$$u_{VH}^* = u_{GS}^* = 10, \quad u_{WE}^* = u_{FR}^* = 1 \quad \dots \quad (7.2)$$

と与えた。Fig. 4 の解から見ると、すい分荒い近似値だが、これで HU,

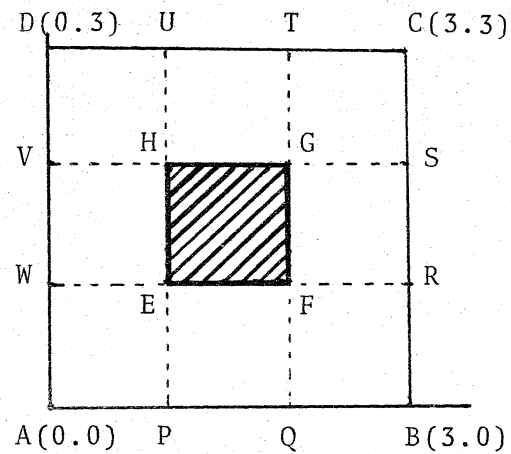


Fig. 3

GT; EP, FQ 工の λ^1 近似値を求め、それにより、又 VH, GS; WE, FR 上の λ^1 近似が得られるが、すでに解に近くなっていることが Table 3 により知れる。

Schwarz の方法で示したように、解とくらべて見れば、初めに与えた出発値 (7.2) は劣函数列を与えることがわかる。しかし Table 3, 3 STEP から真の解よりも計算結果が大きくなっている実があり、4 STEP では全部計算結果が大きい。近似差分方程式の解は 25 STEP あたりで表示された桁数だけ完全に収束している。劣函数が真の解より大きくなるのは、差分近似式の精度がそこまでであることに外ならない。実際優函数を λ^0 近似

$$u_{VH}^{\circ} = u_{GS}^{\circ} = 1000, \quad u_{WE}^{\circ} = u_{FR}^{\circ} = 100 \quad \dots \quad (7.3)$$

として計算して見れば、4 STEP で VH 上では 小数 λ^2 位まで劣函数と同じで少し大きい値が得られている。優函数は劣函数より大きくて差分方程式の解に収束している。

References

- Berezin, I.S. and Zhidkov, N.P. [1965]: Metody vychislenii, Fizmatgiz, Moscow. (Translated from Russian by Blunn. O.M. Computing methods I,II, Pergamon Press, Oxford, 1965)
- Forsythe, G.E. and Wasow W.R. [1960]: Finite-difference method for partial differential equations, John Wiley and Sons, New York, London.
- Kantrovič L.V. and Krylov V.I. [1952]: Priblizhennye metody vysshego analiza, Gostekhizdat Moscow, Leningrad. (Translated from Russian by C. D. Benster: Approximate method of higher analysys, Interscience Publishers Inc., New York 1958)
- 加藤敏夫, 藤田 宏, 橋本英典, 中田義元 [1958] :微分方程式の近似解法 I,II,岩波書店, 小松勇作 [1944] :等角写像論上,下, 共立出版
- Lyusternik L.A. [1954]: O raznostnykh approksimatsiyakh operatora Laplasa, Uspehi Math.Nauk vol. 9 no. 2, pp. 3-66 (J.B.Diatz: On difference approximations of the Laplace operator, Amer. Math. Soc. Translations (2), vol. 8 1958, pp. 289-351)
- Nakashima, K. [1963]: On the computation of the general eigenproblem. Information Processing in Japan, vol. 3, pp. 25-32.
- Nakashima, K. [1965]: Numerical computation of elliptic partial differential equations,I. Method of lines, Momos. of the School of Sci. and Eng. Waseda Univ., vol. 29, pp.115-127.
- Nevanlinna, F. [1939]: Über das alternierendes Verfahren von Schwarz. Crelles Journ. Bd.180, pp.121-128.

EXTERNAL FORMULA NUMBER	SOURCE STATEMENT	INTERNAL FORMULA NUMBER
DIMENSION UA(100),UB(100),UC(100),UD(100),UP(100),UQ(100),UR(100), 1US(100),VA(100),VD(100),VP(100),VS(100),Z(100)		
DOUBLE PRECISION UA,UB,UC,UD,UP,UQ,UR,US,VA,VD,VP,VS,Z,PI,F,H COMMON PI,M,L1,L2		
READ(5,100)M,L1,L2		1
100 FORMAT(3I5)		2
READ(5,101)(UB(I),UC(I),I=1,L1-1),(UB(I),UC(I),I=L2+1,M)		3
101 FORMAT(16F5.0)		10
WRITE(6,102)		11
102 FORMAT(1H1,5X,23HDIRICLET MONDAI 5-POINT //,5X,19HINITIAL VALUS 0 1N VH,11X,19HINITIAL VALUS ON WE,11X,19HINITIAL VALUS ON GS,11X,19H 2INITIAL VALUS ON FR)		12
WRITE(6,103)(UR(I),UC(I),UR(I),UC(I),I=1,L1-1)		13
103 FORMAT(1H ,(3X,D24.15,6X,D24.15,6X,D24.15,6X,D24.15))		17
WRITE(6,104)		18
104 FORMAT(1H0,14HROUNDARY VALUS / 20X,5HON AB,25X,5HON BC,25X,5HON AD 1,25X,5HON DC)		19
PI=3.1415926535897932		20
H=3.0/FLOAT(M+1)		21
DO 10 I=1,M+1		22
UD(I)=F(H*FLCAT(I),0.0)		24
US(I)=F(3.0,H*FLCAT(I))		25
UP(I)=F(0.0,H*FLCAT(I))		26
UA(I)=F(H*FLCAT(I),3.0)		27
WRITE(6,105)UD(I),US(I),UP(I),UA(I)		28
105 FORMAT(1H ,3X,D24.15,6X,D24.15,6X,D24.15,6X,D24.15)		29
10 CONTINUE		30
WRITE(6,106)		31
106 FORMAT(1H0,20X,5HON FF,25X,5HON FG,25X,5HON EH,25X,5HON FG)		32
DO 15 I=L1,L2		33
UC(I)=F(H*FLCAT(I),1.0)		35
UR(I)=F(2.0,H*FLCAT(I))		36
UQ(I)=F(1.0,H*FLCAT(I))		37
UR(I)=F(H*FLCAT(I),2.0)		38
WRITE(6,107)UC(I),UR(I),UQ(I),UB(I)		39
107 FORMAT(1H 3X,D24.15,6X,D24.15,6X,D24.15,6X,D24.15)		40
15 CONTINUE		41
DO 20 I=1,L1-1		42
VP(I)=0.0		44
VS(I)=0.0		45
VD(I)=0.0		46
VA(I)=0.0		47
DO 19 J=1,L1-1		48
VP(I)=VP(I)+(2.0/FLOAT(L1))*UP(J)*DSIN(FLOAT(I*J)*PI/FLOAT(L1))		50
VS(I)=VS(I)+(2.0/FLOAT(L1))*US(J)*DSIN(FLOAT(I*J)*PI/FLOAT(L1))		51
VD(I)=VD(I)+(2.0/FLOAT(L1))*UD(J)*DSIN(FLOAT(I*J)*PI/FLOAT(L1))		52
VA(I)=VA(I)+(2.0/FLOAT(L1))*UA(J)*DSIN(FLOAT(I*J)*PI/FLOAT(L1))		53
19 CONTINUE		54
20 CONTINUE		55
DO 22 I=L2+1,M		56
VP(I)=0.0		58
VS(I)=0.0		59
VD(I)=0.0		60
VA(I)=0.0		61
K=I-L2		62
DO 21 J=L2+1,M		63
LL=J-L2		65
VP(I)=VP(I)+(2.0/FLOAT(L1))*UP(J)*DSIN(FLOAT(K*LL)*PI/FLCAT(L1))		66
VS(I)=VS(I)+(2.0/FLOAT(L1))*US(J)*DSIN(FLOAT(K*LL)*PI/FLCAT(L1))		67

Table 3 (1)

HARP 5020 COMPILED LIST

04/09/41

EXTERNAL FORMULA NUMBER	SOURCE STATEMENT	INTERNAL FORMULA NUMBER
VD(I)=VD(I)+(2.0/FLOAT(L1))*UD(J)*DSIN(FLOAT(K*LL)*PI/FLCAT(L1))		68
VA(I)=VA(I)+(2.0/FLOAT(L1))*UA(J)*DSIN(FLOAT(K*LL)*PI/FLCAT(L1))		69
21 CONTINUE		70
22 CONTINUE		71
II=1		72
23 WRITE(6,108)II		73
108 FORMAT(1H0,13,4HSTEP)		74
CALL BFTAV(UD,UC,UQ,VP,VS,L1,1)		75
DO 25 J=1,L1-1		76
25 Z(J)=F(1.0,H*FLOAT(J))		78
WRITE(6,209)(Z(J),J=1,L1-1)		79
CALL BFTAV(UD,UC,UR,VP,VS,L2,1)		83
DO 26 J=1,L1-1		84
26 Z(J)=F(2.0,H*FLOAT(J))		86
WRITE(6,210)(Z(J),J=1,L1-1)		87
CALL BFTAV(UR,UA,UC,VP,VS,L1,2)		91
DO 27 J=L2+1,M		92
27 Z(J)=F(1.0,H*FLOAT(J))		94
WRITE(6,211)(Z(J),J=L2+1,M)		95
CALL BFTAV(UR,UA,UF,VP,VS,L2,2)		99
DO 28 J=L2+1,M		100
28 Z(J)=F(2.0,H*FLOAT(J))		102
WRITE(6,212)(Z(J),J=L2+1,M)		103
CALL BFTAV(UP,UQ,UC,VD,VA,L1,1)		107
DO 29 J=1,L1-1		108
29 Z(J)=F(H*FLOAT(J),1.0)		110
WRITE(6,213)(Z(J),J=1,L1-1)		111
CALL BFTAV(UP,UQ,UR,VD,VA,L2,1)		115
DO 30 J=1,L1-1		116
30 Z(J)=F(H*FLOAT(J),2.0)		118
WRITE(6,214)(Z(J),J=1,L1-1)		119
CALL BFTAV(UR,US,UC,VD,VA,L1,2)		123
DO 31 J=L2+1,M		124
31 Z(J)=F(H*FLOAT(J),1.0)		126
WRITE(6,215)(Z(J),J=L2+1,M)		127
CALL BFTAV(UR,US,UR,VD,VA,L2,2)		131
DO 32 J=L2+1,M		132
32 Z(J)=F(H*FLOAT(J),2.0)		134
WRITE(6,216)(Z(J),J=L2+1,M)		135
IF(II.EQ.25) GO TO 40		139
II=II+1		141
GO TO 23		142
109 FORMAT(1H ,9X,18HSHIN NO ATAI ON PE ,(OF10.4))		143
110 FORMAT(1H ,9X,18HSHIN NO ATAI ON QF ,(OF10.4))		144
111 FORMAT(1H ,9X,18HSHIN NO ATAI ON HU ,(OF10.4))		145
112 FORMAT(1H ,9X,18HSHIN NO ATAI ON GT ,(OF10.4))		146
113 FORMAT(1H ,9X,18HSHIN NO ATAI ON WE ,(OF10.4))		147
114 FORMAT(1H ,9X,18HSHIN NO ATAI ON VH ,(OF10.4))		148
115 FORMAT(1H ,9X,18HSHIN NO ATAI ON FR ,(OF10.4))		149
116 FORMAT(1H ,9X,18HSHIN NO ATAI ON GS ,(OF10.4))		150
40 STOP		151
END		152

Table 3 (2)

1STEP

KEISAN KEKKA	5.1325	10.4462	15.7526	21.2495	26.9758	33.0526	39.7556	47.9705	61.0636
SHIN NO ATAI ON PE	7.8672	15.4667	23.9478	32.3329	41.3329	50.2767	60.6265	70.4332	81.6129
KEISAN KEKKA	5.1325	10.4462	15.7529	21.2495	26.9758	33.0526	39.7556	47.9705	61.0636
SHIN NO ATAI ON QF	7.8672	15.8237	23.9479	32.3329	41.3329	50.2767	60.0265	70.4332	81.6129
KEISAN KEKKA	276.0426	354.3752	355.5556	363.7712	467.2056	533.9491	606.2122	655.0259	771.3120
SHIN NO ATAI ON HL	333.9295	372.5677	413.4952	461.8445	512.2457	568.2501	631.5124	701.6954	779.5825
KEISAN KEKKA	270.0426	302.7332	351.5050	408.3772	467.3055	533.9491	606.2122	685.0259	771.3120
SHIN NO ATAI ON GT	333.9295	371.6677	413.4952	459.3425	521.2252	568.2501	631.5124	701.6954	779.5825
KEISAN KEKKA	16.4732	20.3334	35.9440	40.5948	49.9623	58.5691	66.7367	74.3131	82.1451
SHIN NO ATAI ON WE	11.3034	22.4023	33.4311	44.0126	53.3041	63.5379	72.3880	80.3950	87.5212
KEISAN KEKKA	34.4120	67.7828	100.6007	132.1215	167.3038	189.6003	215.5356	239.4470	263.9566
SHIN NO ATAI ON WE	34.4120	71.9453	105.9455	140.3335	172.1224	192.6036	231.6336	257.3101	280.1180
KEISAN KEKKA	82.1451	74.3131	66.7367	53.3591	49.9623	40.0003	30.9440	20.8334	10.4781
SHIN NO ATAI ON FR	87.5212	80.3950	72.3880	63.5879	54.0911	44.0016	33.4301	22.4923	11.3081
KEISAN KEKKA	263.9566	239.4479	215.5356	189.8395	161.9238	132.1285	100.6007	67.7898	34.1128
SHIN NO ATAI ON GS	230.1131	257.3101	231.6680	203.5116	173.1224	140.3305	106.9955	71.9884	36.1924
2STEP									
KEISAN KEKKA	7.6722	15.4233	23.3534	31.5346	40.4636	49.0400	58.5011	68.8550	80.2050
SHIN NO ATAI ON PE	7.8672	15.3207	23.9478	32.3379	41.3379	50.2787	60.0265	70.4332	81.6129
KEISAN KEKKA	7.6722	15.4233	23.3534	31.5346	40.4636	49.0400	58.5011	68.8550	80.2050
SHIN NO ATAI ON QF	7.8672	15.3207	23.9478	32.3379	41.3379	50.2787	60.0265	70.4332	81.6129
KEISAN KEKKA	329.8165	367.1135	419.3659	456.3563	503.4062	566.0499	629.8979	700.6458	779.0683
SHIN NO ATAI ON HL	333.9295	371.6677	413.4954	459.8415	511.2450	568.2600	631.5124	701.6954	779.5825
KEISAN KEKKA	320.8165	367.1135	409.3630	456.3563	503.4062	566.0499	629.8979	700.6458	779.0683
SHIN NO ATAI ON GT	333.9295	371.6677	413.4954	459.8415	511.2450	568.2600	631.5124	701.6954	779.5825
KEISAN KEKKA	11.2542	22.3842	33.2573	43.7835	53.3160	63.2579	72.0064	79.9812	87.1534
SHIN NO ATAI ON WE	11.3051	22.4923	33.4311	44.3016	54.0011	63.5379	72.3880	80.3950	87.5212
KEISAN KEKKA	36.0673	71.7357	106.6076	140.2990	172.4365	202.6677	230.6703	256.1798	279.0877
SHIN NO ATAI ON WE	36.1924	71.9883	106.9955	140.3315	173.1224	203.5176	231.6830	257.3101	280.1180
KEISAN KEKKA	37.1534	79.9812	72.0054	63.2579	53.8169	43.7835	33.2673	22.3842	11.2542
SHIN NO ATAI ON F2	37.5212	63.3052	72.3830	63.5879	54.1e11	44.0016	33.4301	22.4923	11.3081
KEISAN KEKKA	279.0677	256.1793	230.6677	172.4365	140.2990	106.6076	71.7350	36.0673	36.1924
SHIN NO ATAI ON GS	236.1130	257.3101	231.6830	203.5116	173.1224	140.3305	106.9955	71.9884	36.1924

Table 3 (3)

3STEP

KEISAN KEKKA	7.8553	15.7986	23.9140	32.2914	41.0228	50.2041	59.9372	70.3331	81.5214
SHIN NO ATAI ON PE	7.8672	15.8207	23.9478	32.3379	41.0828	50.2787	60.0265	70.4332	81.6129
KEISAN KEKKA	7.8563	15.7936	23.9140	32.2914	41.0228	50.2041	59.9372	70.3331	81.5214
SHIN NO ATAI ON QF	7.8672	15.8207	23.9478	32.3379	41.0828	50.2787	60.0265	70.4332	81.6129
KEISAN KEKKA	333.7540	371.4437	413.3117	450.7236	511.1765	568.2309	631.5111	701.7101	779.5971
SHIN NO ATAI ON HU	333.9296	372.6677	413.4854	459.8415	511.2450	568.2600	631.5124	701.6954	779.5825
KEISAN KEKKA	333.7040	371.4437	413.3117	459.7236	511.1765	568.2309	631.5111	701.7101	779.5971
SHIN NO ATAI ON GT	333.9296	372.6677	413.4854	459.8415	511.2450	568.2600	631.5124	701.6954	779.5825
KEISAN KEKKA	11.3037	22.4932	33.4308	44.6012	54.0835	63.5819	72.3774	80.3795	87.5040
SHIN NO ATAI ON WE	11.3031	22.4023	33.4311	44.6016	54.0911	63.5779	72.3880	80.3950	87.5212
KEISAN KEKKA	36.1976	71.9934	107.0085	140.8438	173.1329	203.5210	231.6749	257.2872	280.0852
SHIN NO ATAI ON VH	36.1924	71.9883	106.9955	140.8305	173.1224	203.5176	231.6836	257.3101	280.1180
KEISAN KEKKA	37.5040	80.3795	72.3774	63.5819	54.0885	44.6012	33.4308	22.4932	11.3087
SHIN NO ATAI ON FR	37.5212	80.3950	72.3880	63.5879	54.0911	44.6016	33.4301	22.4923	11.3081
KEISAN KEKKA	230.0852	257.2872	231.6749	203.5210	173.1329	140.8438	107.0085	71.9984	36.1979
SHIN NO ATAI ON GS	230.1180	257.3101	231.6830	203.5176	173.1224	140.8305	106.9955	71.9884	36.1924
4STEP									
KEISAN KEKKA	7.8692	15.8246	23.9534	32.3446	41.0902	50.2859	60.0325	70.4369	81.6138
SHIN NO ATAI ON PE	7.8672	15.8207	23.9478	32.3379	41.0828	50.2787	60.0265	70.4332	81.6129
KEISAN KEKKA	7.8692	15.8246	23.9534	32.3446	41.0902	50.2859	60.0325	70.4369	81.6138
SHIN NO ATAI ON OF	7.8672	15.8207	23.9478	32.3379	41.0828	50.2787	60.0265	70.4332	81.6129
KEISAN KEKKA	333.9610	371.7302	413.5731	459.9470	511.3600	568.3755	631.6180	701.7807	779.6321
SHIN NO ATAI ON HU	333.9296	371.6677	413.4854	459.8415	511.2450	568.2600	631.5124	701.6954	779.5825
KEISAN KEKKA	333.9610	371.7302	413.5731	459.9470	511.3600	568.3755	631.6180	701.7807	779.6321
SHIN NO ATAI ON GT	333.9296	371.6677	413.4854	459.8415	511.2450	568.2600	631.5124	701.6954	779.5825
KEISAN KEKKA	11.3125	22.5603	33.4421	44.0153	54.1074	63.6045	72.4034	80.4074	87.5285
SHIN NO ATAI ON VE	11.3081	22.4923	33.4301	44.0016	54.0911	63.5979	72.3880	80.3950	87.5212
KEISAN KEKKA	36.2055	72.0453	107.0351	140.8800	173.1790	203.5775	231.7414	257.3605	280.1512
SHIN NO ATAI ON VR	36.1924	71.9633	106.9955	140.8305	173.1224	203.5176	231.6830	257.3101	280.1180
KEISAN KEKKA	37.5235	80.4074	72.4034	63.6045	54.1074	44.0163	33.4421	22.5008	11.3125
SHIN NO ATAI ON FR	37.5212	80.3950	72.3880	63.5879	54.0911	44.6016	33.4301	22.4923	11.3081
KEISAN KEKKA	230.01512	257.3605	271.7414	203.5775	173.1790	140.8800	107.0351	72.0158	36.2065
SHIN NO ATAI ON GS	230.1189	257.3101	231.6830	203.5176	173.1224	140.8305	106.9955	71.9884	36.1924

Table 3 (4)

5STEP

KEISAN KEKKA SHIN NO ATAI ON PE	7.8731 15.8207	15.8264 23.9478	23.9562 32.3373	32.3453 41.0049	41.0049 50.2016	60.0391 60.0265	70.4442 70.4332	81.6203 81.6129
KEISAN KEKKA SHIN NO ATAI ON QF	7.8731 15.8207	15.8264 23.9478	23.9562 32.3373	32.3453 41.0049	41.0049 50.2016	60.0391 60.0265	70.4442 70.4332	81.6203 81.6129
KEISAN KEKKA SHIN NO ATAI ON GT	333.9730 371.6677	371.7492 413.4854	413.5914 459.8415	459.9613 511.2453	511.3722 568.2600	568.3950 631.6251	701.7854 701.5124	779.6345 779.5825
KEISAN KEKKA SHIN NO ATAI ON WE	333.9730 371.6677	371.7492 413.4854	413.5914 459.8415	459.9613 511.2453	511.3722 568.2600	568.3950 631.6251	701.7854 701.5124	779.6345 779.5825
KEISAN KEKKA SHIN NO ATAI ON VF	36.2073 71.9833	72.6170 106.9955	107.0569 140.8305	140.8824 173.1224	173.1821 203.5913	203.5913 231.6836	231.7458 231.5166	257.3653 257.3101
KEISAN KEKKA SHIN NO ATAI ON FR	87.5307 87.5212	80.4093 89.3050	72.4052 72.3980	63.6061 63.5979	54.1087 54.0911	44.0174 44.0016	33.4429 33.4301	22.5013 22.4923
KEISAN KEKKA SHIN NO ATAI ON GS	286.1555 286.1180	257.3653 257.3101	231.7459 231.6930	203.5913 203.5176	173.1821 173.1224	140.8824 140.8305	107.0366 106.9955	72.0170 71.9884
6STEP								
KEISAN KEKKA SHIN NO ATAI ON PE	7.8702 15.8207	15.8266 23.9478	23.9563 32.3373	32.3486 41.0052	41.0052 50.2020	60.0396 60.0265	70.4447 70.4332	81.6207 81.6129
KEISAN KEKKA SHIN NO ATAI ON QF	7.8702 15.8207	15.8266 23.9478	23.9563 32.3373	32.3486 41.0052	41.0052 50.2020	60.0396 60.0265	70.4447 70.4332	81.6207 81.6129
KEISAN KEKKA SHIN NO ATAI ON GT	333.9791 371.6677	371.7534 413.4854	413.5915 459.8415	459.9628 511.2450	511.3730 568.2600	568.3857 631.6256	701.7857 701.5124	779.6346 779.5825
KEISAN KEKKA SHIN NO ATAI ON WE	333.9791 371.6677	371.7534 413.4854	413.5915 459.8415	459.9628 511.2450	511.3730 568.2600	568.3857 631.6256	701.7857 701.5124	779.6346 779.5825
KEISAN KEKKA SHIN NO ATAI ON VF	36.2074 71.9833	72.0171 106.9955	107.0370 140.8305	140.8825 173.1224	173.1823 203.5915	203.5915 231.6836	231.7461 231.5176	257.3657 257.3101
KEISAN KEKKA SHIN NO ATAI ON FR	87.5304 87.5212	80.4094 80.3950	72.4053 72.3880	72.4053 63.5879	54.1086 54.0911	44.0175 44.0016	33.4430 33.4301	22.5014 22.4923
KEISAN KEKKA SHIN NO ATAI ON GS	286.1558 286.1180	257.3657 257.3101	231.7461 231.6830	203.5815 203.5176	173.1623 173.1224	140.8825 140.8305	107.0370 106.9955	72.0171 71.9884

KEISAN KEKKA	7.8712	15.8266	25.9564	37.6455	41.9659	50.2021	60.0396	70.4447	81.6208
SHIN NO ATAI ON PE	7.8672	15.8207	23.9479	37.3379	41.9828	50.0787	60.0265	70.4332	81.6129
KEISAN KEKKA	7.8702	15.8266	25.9564	37.3486	41.9659	50.2021	60.0396	70.4447	81.6208
SHIN NO ATAI ON GF	7.8672	15.8207	25.9478	37.3379	41.9828	50.2787	60.0265	70.4332	81.6129
KEISAN KERKA	333.9792	371.7505	415.5916	459.9629	511.3731	568.3557	631.6256	701.7857	779.6346
SHIN NO ATAI ON AL	333.9296	374.6677	413.4954	450.8415	511.2458	563.2501	631.5124	701.6954	779.5825
KEISAN KEKKA	333.9792	371.7505	415.5916	458.9529	511.3731	568.3857	631.6256	701.7857	779.6346
SHIN NO ATAI ON AE	333.9296	374.6677	413.4854	450.8415	511.2458	568.2560	631.5124	701.6954	779.5825
KEISAN KERKA	11.3128	22.5014	33.4430	44.0175	54.1088	63.6162	72.4053	80.4094	87.5304
SHIN NO ATAI ON AE	11.3081	22.4923	33.4301	44.0016	54.0911	63.5979	72.3980	80.3950	87.5212
KEISAN KERKA	36.2072	72.3174	107.0370	140.8825	173.1823	203.5815	231.7461	257.3657	280.1558
SHIN NO ATAI ON VH	36.1924	71.9833	105.9955	140.8365	173.1224	203.5176	231.6830	257.3101	280.1180
KEISAN KERKA	37.5304	80.4094	122.4053	163.6062	204.1058	244.0175	283.4430	322.5014	351.3128
SHIN NO ATAI ON FR	87.5212	80.3950	122.3880	163.5879	204.0916	244.0916	283.4301	322.4923	351.3081
KEISAN KEKKA	280.1558	257.3657	231.7461	203.5815	173.1823	140.8825	107.0370	72.0171	36.2071
SHIN NO ATAI ON GS	280.1130	257.3101	231.6830	203.5176	173.1224	140.8365	106.9955	71.9834	36.1924
25STEP									
KEISAN KERKA	7.8702	15.8266	25.9564	37.3486	41.9652	50.2020	60.0396	70.4447	81.6208
SHIN NO ATAI ON PE	7.8672	15.8207	23.9478	32.3379	41.0828	50.2787	60.0265	70.4332	81.6129
KEISAN KERKA	7.8702	15.8266	25.9564	37.3486	41.9652	50.2020	60.0396	70.4447	81.6208
SHIN NO ATAI ON WF	7.8672	15.8207	23.9478	32.3379	41.0828	50.2787	60.0265	70.4332	81.6129
KEISAN KERKA	333.9792	371.7505	413.5916	459.9629	511.3731	568.3857	631.6256	701.7857	779.6346
SHIN NO ATAI ON HU	333.9296	371.6677	413.4854	459.8415	511.2458	568.2600	631.5124	701.6954	779.5825
KEISAN KERKA	333.9792	371.7505	413.5916	459.9629	511.3731	568.3857	631.6256	701.7857	779.6346
SHIN NO ATAI ON GT	333.9296	371.6677	413.4854	459.8415	511.2458	568.2600	631.5124	701.6954	779.5825
KEISAN KERKA	11.3128	22.5014	33.4430	44.0175	54.1088	63.6162	72.4053	80.4094	87.5304
SHIN NO ATAI ON WE	11.3081	22.4923	33.4301	44.0016	54.0911	63.5979	72.3980	80.3950	87.5212
KEISAN KERKA	36.2072	72.0171	107.0370	140.8825	173.1823	203.5815	231.7461	257.3657	280.1558
SHIN NO ATAI ON VH	36.1924	71.9833	105.9955	140.8365	173.1224	203.5176	231.6830	257.3101	280.1180
KEISAN KERKA	37.5304	80.4094	122.4053	163.6062	204.1058	244.0175	283.4430	322.5014	351.3128
SHIN NO ATAI ON FR	87.5212	80.3950	122.3880	163.5879	204.0916	244.0916	283.4301	322.4923	351.3081
KEISAN KERKA	280.1558	257.3657	231.7461	203.5815	173.1823	140.8825	107.0370	72.0171	36.2071
SHIN NO ATAI ON GS	280.1130	257.3101	231.6830	203.5176	173.1224	140.8365	106.9955	71.9834	36.1924

Table 3 (6)

- Peaceman, D.W. and Rachford, H.H.Jr., [1955]: The numerical solution of parabolic and elliptic differential equations, J. Soc. Indust. Appl. Math., vol.3, pp.28-41.
- Petrovskii, I.G. [1950]: Lektsii ob uravneniakh c chastnymi proizvdyymi, GTTI, (Translated from Russian into Japanese by T. Watanabe Hembibun Hoteisiki, Tokyo Publ. 1958)
- Wilkinson, J.H. [1961]: Error analysis of direct methods of matrix inversion, J.A.C.M., vol. 8, pp.281-330.
- Young D. [1954]: Iterative methods for solving partial difference equations of elliptic types, Trans, Amer. Math. Soc., vol. 76, pp.92-111.